

铁道部科学研究院

论文集

铁路车辆及制动

6
1980



目 录

| | |
|----------------------------|-----|
| 1. 大容量缓冲器的试验研究..... | 1 |
| 2. 螺旋弹簧悬挂的横向特性研究..... | 24 |
| 3. 二—三压力空气分配阀研究..... | 36 |
| 4. 车辆结构主载荷最大可能组合及其取值..... | 50 |
| 5. 103/104阀方案设计及参数选择 | 62 |
| 6. 差动式位移计的试验研究..... | 72 |
| 7. 制动计算的简化及图算..... | 87 |
| 8. 四轴货车的脱轨稳定性..... | 100 |
| 9. 车轴压装应力公析..... | 114 |

大容量缓冲器的试验研究

四方车辆研究所 戴家骥

我国机、货车上装用的二、三号缓冲器，随着运量的增加和运行速度的提高，已不能满足使用要求，需要设计新型缓冲器来代替。为此，我们研制了一种零件少、结构简单、重量轻（比三号轻51公斤）、性能良好（容量比三号提高一倍）的MX—1型摩擦橡胶缓冲器。

一、缓冲器容量、冲击速度和车辆重量间函数关系的图解法

当两个车辆碰撞时，根据动量相等和动能守衡原理，可推导出车辆上每一个缓冲器所需要的容量为：

$$\Theta = \frac{1}{8} \cdot \frac{W}{g} V^2 \quad (1)$$

式中 W ——冲击车辆的总重（吨）；

V ——两车辆间相对冲击速度（公里/小时）；

Θ ——缓冲器的容量（公斤·米）。

为了用图解法表示 Θ 、 V 、 W 三者间的关系，将式（1）简化为：

$$8g\Theta = WV^2$$

两端取对数

$$\lg 8g\Theta = \lg W + 2\lg V$$

$$\lg W = -2\lg V + \lg 8g\Theta \quad (2)$$

设 $\lg W = y$, $\lg 8g\Theta = b$, $-2\lg V = -KX$

则式（2）可写成 $y = -KX + b$, 此式为一斜率为 -2 的直线方程，即式（2）可用对数座标表示出 W 与 V 之间的线性关系。

同理， $\lg \Theta = \lg \frac{W}{8g} + 2\lg V$ 可用对数座标表示出 Θ 与 V 之间的线性关系。

这样，我们就可用对数座标表示 Θ 、 V 、 W 之间关系的两组平行直线，如图1所示。从图1可以看出：

(1) 同样的缓冲器，用于不同车辆总重时，其允许的冲击速度是不同的。冲击速度随着车辆重量的增加而减小。

(2) 在容量、重量、冲击速度三个参数中，当已知任意两个时，由图1中可查找出另一个参数。

(3) 有了图1，我们可用直观的方法看出用缓冲器的适用范围和冲击速度，车辆重量增加后对缓冲器容量的要求。

通常载重60吨、自重20吨的车辆，选用2号或3号缓冲器时，从图1中可查得允许的冲击速度分别为5.5或5公里/小时。

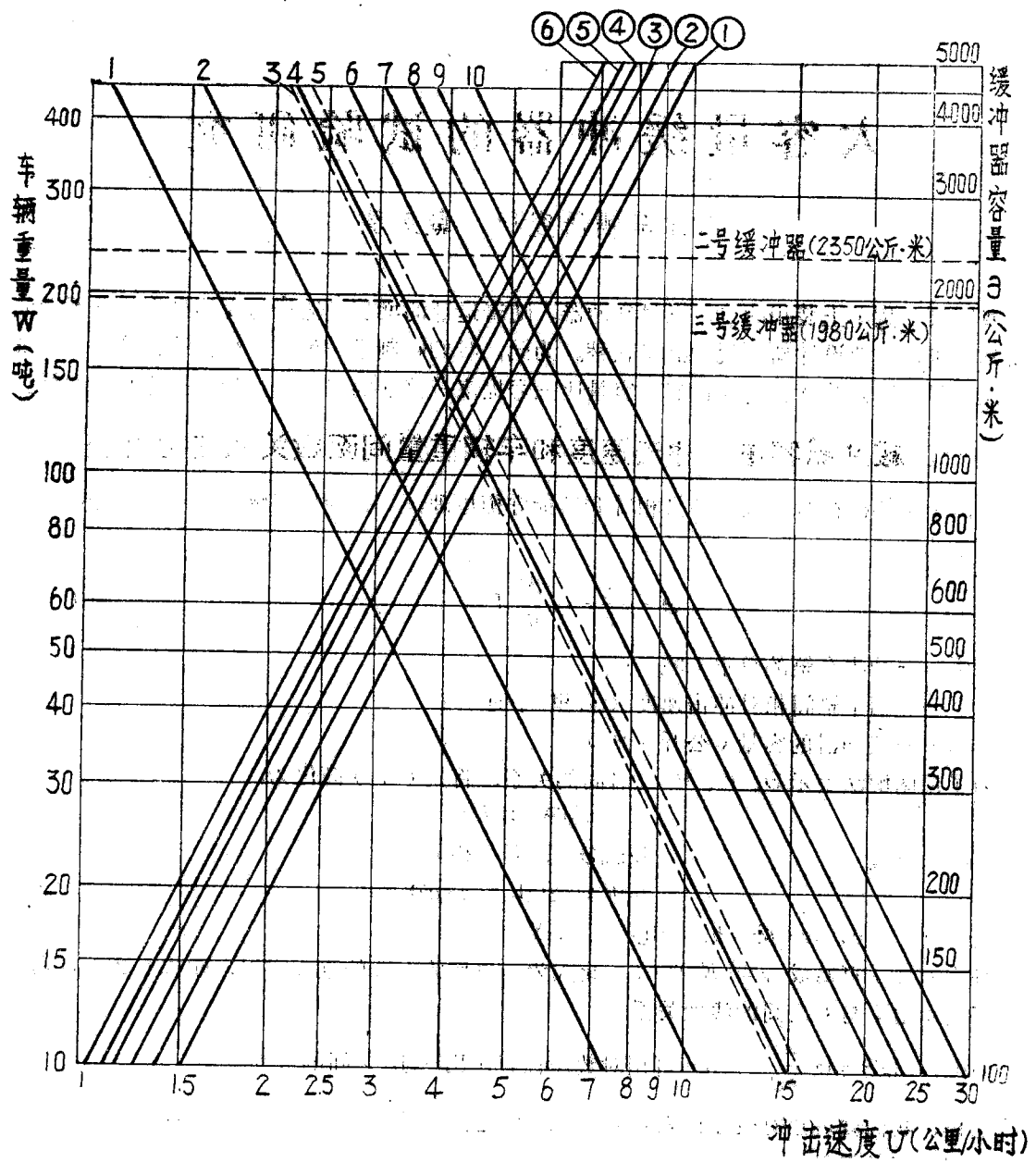


图1 缓冲器容量、车辆重量与冲击速度间的关系图

- | | | |
|--------------------------------|----------------------------|-----------------|
| 1— $\Theta = 500$ 公斤·米; | 6— $\Theta = 3,000$ 公斤·米; | |
| 2— $\Theta = 1,000$ 公斤·米; | 7— $\Theta = 4,000$ 公斤·米; | |
| 3—三号缓冲器 $\Theta = 1,980$ 公斤·米; | 8— $\Theta = 5,000$ 公斤·米; | |
| 4— $\Theta = 2,000$ 公斤·米; | 9— $\Theta = 6,000$ 公斤·米; | |
| 5—二号缓冲器 $\Theta = 2,350$ 公斤·米; | 10— $\Theta = 8,000$ 公斤·米; | |
| ①— $W = 50$ 吨; | ②— $W = 60$ 吨; | ③— $W = 70$ 吨; |
| ④— $W = 80$ 吨; | ⑤— $W = 90$ 吨; | ⑥— $W = 100$ 吨; |

由图1看出，增加车辆总重、提高车辆编组连挂速度都导致缓冲器容量的增加。例如，缓冲器的容量提高到4000公斤·米，仍采用总重80吨的车辆，由图1中可查得这时允许的冲击速度可提高到7.2公里/小时；同样，在缓冲器容量为4000公斤·米时，如仍取5公里/小时的冲击速度，这时允许的车辆总重可提高到165吨。

二、大容量缓冲器的结构

通常，缓冲器的容量可用公式 $\Theta = \int_0^X P(X) dX$ 来表示。提高容量 Θ 有以下途径：（1）可增加行程 X ，但受到结构的限制，行程的增加有限；（2）改变缓冲器的静力特性曲线，增加 $P(X)$ 曲线所容的面积，它与选用缓冲器的型式有关；（3）提高初压力和全压缩时的作用力。

设计中，采用途径（3）来提高容量。选用摩擦橡胶缓冲器型式的优点是：通过适当的组合可得到较高的容量，有较大的吸收冲击能量的百分比，同时具有结构简单、便于制造等特点。设计指标如下：

容量：不低于3500公斤·米；

最大作用力： 160 ± 10 吨；

行程： 65 ± 5 毫米。

MX—1型大容量缓冲器的外形及剖面图如图2所示。

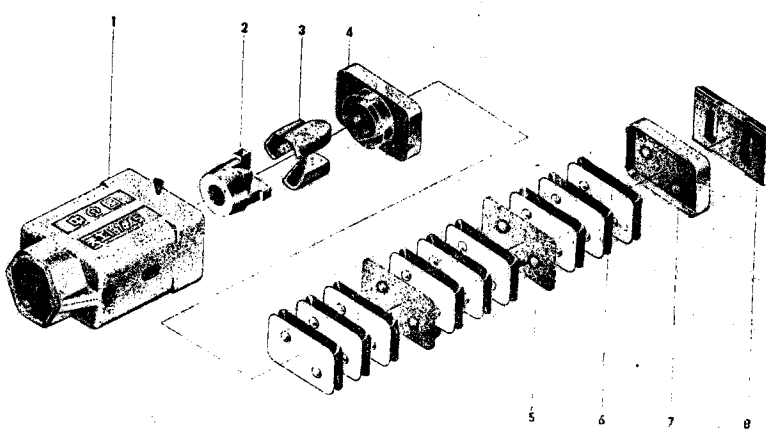


图2 MX—1型缓冲器的外形及结构图

1—箱体； 2—压块； 3—楔块； 4—顶隔板；
5—橡胶片； 6—中隔板； 7—底隔板； 8—底板。

缓冲器的外形轮廓尺寸为 $568 \times 318 \times 226$ 毫米，能与二、三号缓冲器互换，自重133公斤，比三号轻51公斤，比二号（包括一块从板的重量）轻15公斤。除橡胶片外，其余零件全为铸件，清除毛刺后就可组装，便于生产。

动作原理：它借助于三个形状相同且带有倾角的楔块，介于箱体和压块之间，受压时产生摩擦，消耗冲击功能。同时，利用分隔成三层的九片橡胶片来承受冲击、吸收动能并起冲击后复原的作用。

摩擦件的主要几何参数为 $\alpha = 52^\circ$, $\beta = 0^\circ$, $\gamma = 1^\circ 30'$, $2\theta_1 = 120^\circ$ 。

为提高摩擦件的耐磨性，楔块采用了25号铸钢渗碳处理，表面硬度为 $HRC = 50 \sim 60$ 。每三片橡胶片间有隔板隔开，以增加整个胶片的稳定性。
胶片采用橡胶与金属结合的平板型式，以增加胶片的刚度。
整个缓冲器采用一次加压倒置拆装法进行组装与分解，在25吨的压缩载荷下就可拆装。

三、MX—1型缓冲器的计算

1. 公式推导

缓冲器的计算简图示于图3。

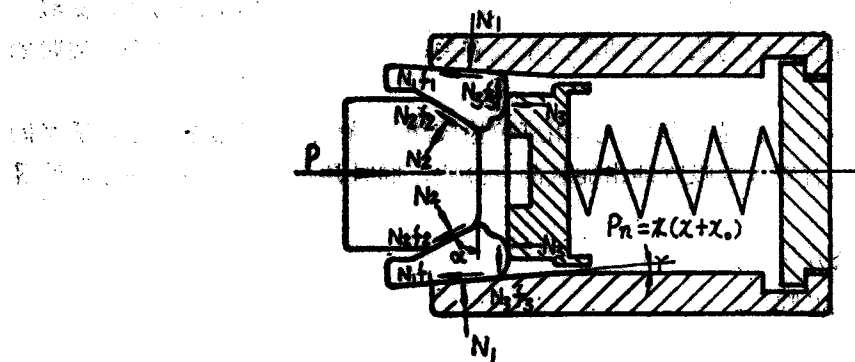


图3 缓冲器零件间力作用简图

K —橡胶的刚度；

X_0 —橡胶片的初压缩量；

$X_0 + X$ —橡胶片的总压缩量。

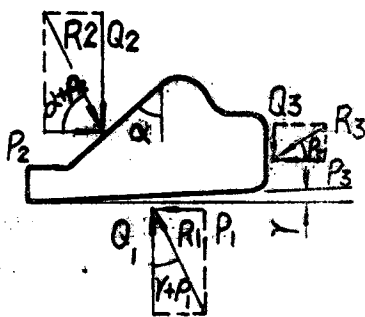
在外力 P 和弹簧反力 $P_n = K(X_0 + X)$ 作用下，缓冲器各零件间将产生以下各力：

N_1 和 $N_1 f_1$ ——楔块与箱体间在主摩擦面上的正压力和摩擦力；

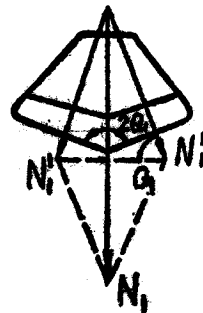
N_2 和 $N_2 f_2$ ——压块和楔块间的正压力和摩擦力；

N_3 和 $N_3 f_3$ ——顶隔板与楔块间的正压力和摩擦力。

由楔块的平衡条件中，可求出外力 P 、 P_n 与缓冲器间的几何关系。楔块的受力图见图4。



(a) 作用于楔块上的力的分解图



(b) 楔块凹槽形两摩擦表面上力的作用简图

图4

设作用于缓冲器三个楔块上的力相等，将作用于楔块三个摩擦面上的力分解为垂直力

Q_1 、 Q_2 、 Q_3 和水平力 P_1 、 P_2 、 P_3 ，则每一模块上的 P_2 和 P_3 应分别为：

$$P_2 = \frac{P}{3}$$

$$P_3 = \frac{P_1}{3} = \frac{\mathbb{K}(X_0 + X)}{3}$$

由力的多边形中得到 $Q_1 = \frac{P_1}{\tan(\gamma + \rho_1)}$ ； $Q_2 = P_2 \tan(\alpha + \rho_2)$ ； $Q_3 = P_3 \tan \rho_3$ 。

ρ_1 、 ρ_2 、 ρ_3 为相应于摩擦系数 f_1 、 f_2 、 f_3 的摩擦角。

$$\therefore Q_1 = Q_2 + Q_3$$

$$\therefore \frac{P_1}{\tan(\gamma + \rho_1)} = P_2 \tan(\alpha + \rho_2) + P_3 \tan \rho_3$$

$$\text{又 } \because P_1 = P_2 - P_3$$

代入后得

$$\begin{aligned} & P_2[1 - \tan(\gamma + \rho_1) \cdot \tan(\alpha + \rho_2)] \\ &= P_3[1 + \tan \rho_3 \cdot \tan(\gamma + \rho_1)] \end{aligned}$$

再将

$$P_2 = \frac{P}{3} \text{ 和 } P_3 = \frac{P_1}{3} = \frac{\mathbb{K}(X + X_0)}{3} \text{ 代入得}$$

$$P = \frac{1 + \tan \rho_3 \tan(\gamma + \rho_1)}{1 - \tan(\alpha + \rho_2) \cdot \tan(\gamma + \rho_1)} \cdot \mathbb{K}(X + X_0)$$

设

$$\frac{1 + \tan \rho_3 \tan(\gamma + \rho_1)}{1 - \tan(\alpha + \rho_2) \cdot \tan(\gamma + \rho_1)} = \psi \quad (3)$$

则

$$P = \psi \mathbb{K}(X + X_0) \quad (4)$$

ψ 系传递系数，表示缓冲器的压缩力超过橡胶弹簧压缩力的倍数。

$$\text{当反行程时, } \psi_1 = \frac{1 + \tan(-\rho_3) \cdot \tan(\gamma - \rho_1)}{1 - \tan(\alpha - \rho_2) \cdot \tan(\gamma - \rho_1)} \quad (5)$$

当 $X = 0$ 时，由(4)式中可得初压缩力 $P_0 = \psi \mathbb{K} X_0$ 。

当摩擦系数不变化时，则 ψ 和 ψ_1 为定值，力特性为线性。缓冲器的容量就等于在行程 X 上所做的功，数值为图5中阴影的面积。

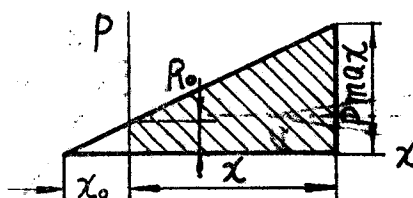


图 5

$$\begin{aligned} \Theta &= \frac{(P_{max} + P_0)X}{2} = \frac{1}{2}[\psi \mathbb{K}(X + X_0) + \psi \mathbb{K} X_0] \cdot X \\ &= \frac{\psi \mathbb{K}}{2}(X^2 + 2XX_0) \end{aligned} \quad (6)$$

$$\text{缓冲器的吸收率: } \eta = \frac{\Theta - \Theta_{\text{复原}}}{\Theta} = \frac{\psi - \psi_1}{\psi} = 1 - \frac{\psi_1}{\psi}$$

用上面公式计算时需注意下面几个几何关系：

① 为保证楔块沿一定方向运动，结构中将箱体与楔块做成凹槽形摩擦表面，这样上面公式中的摩擦角 ρ_1 及相应的 f_1 与实际的摩擦角 ρ 及 f 间的关系为：

$$f_1 = \frac{f}{\sin\theta_1} \quad \text{即} \quad \operatorname{tg}\rho_1 = \frac{\operatorname{tg}\rho}{\sin\theta_1}$$

证明：由图4b中看出，两个摩擦面上的总摩擦力为：

$$F_{\text{总}} = 2N_1'f, \text{ 两个 } N_1' \text{ 的合力为 } N_1 = 2N_1'\sin\theta_1$$

$$\therefore 2N_1 = \frac{N_1}{\sin\theta_1} \text{ 代入 } F_{\text{总}} \text{ 中得}$$

$$F_{\text{总}} = \frac{N_1}{\sin\theta_1} f = N_1 f_1$$

$$\therefore f_1 = \frac{f}{\sin\theta_1}$$

② 在上面的公式中，角度 γ 指 $\angle ADC$ ，它在箱体的边缘交界线和轴线组成的平面内变化。角度 2θ 是在垂直于箱体侧棱的平面 I—I 中两边间的夹角（图 6）。

在缓冲器的图形中，棱边倾斜角 γ_1 ，通常表示在平面 BCD 中，在平面 II-II 内棱边间夹角用 $2\theta_1$ 表示。 γ 与 γ_1 ， θ 与 θ_1 之间的关系为：

$$\operatorname{tg}\gamma = \frac{\operatorname{tg}\gamma_1}{\sin\theta_1} \quad (6)$$

$$\sin\theta = \frac{\sin\theta_1}{\cos\gamma} \quad (7)$$

绘一示意图图 7，平面 I 与 II 相交于 SS，另一平面 GMF 与平面 I、II 垂直相交，平面 GKF 与平面 I、II 斜角相交，E 点为 GF 的中点。

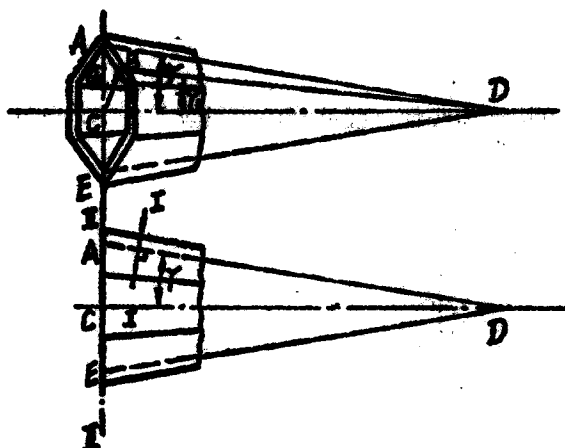


图 6 确定缓冲器箱体计算角的简图

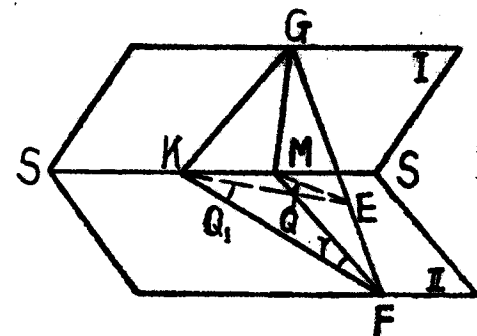


图 7

从示意图 7 可得 $\sin\theta = \frac{\sin\theta_1}{\cos\gamma}$ 。

在精标计算求 ϕ 值时需将公式中的 γ 、 θ 按公式(6)、(7)代入求得。

③ 求楔块与压块相互接触的两摩擦面间的夹角 2φ （图 8）。

在 $\triangle ABC$ 中 $\overline{BC} = \overline{AC} \operatorname{tg}\varphi_1$ ，在 $\triangle BCD$ 中 $\overline{BC} = \overline{CD} \operatorname{tg}\varphi$ ，在 $\triangle ACD$ 中

$$\overline{CD} = \overline{AC} \cos \beta$$

$$\therefore \overline{AC} \operatorname{tg} \varphi_1 = \overline{CD} \operatorname{tg} \varphi = \overline{AC} \operatorname{tg} \varphi \cos \beta$$

$$\therefore \operatorname{tg} \varphi_1 = \operatorname{tg} \varphi \cos \beta$$

$$\therefore \operatorname{tg} \varphi = \frac{\operatorname{tg} \varphi_1}{\cos \beta} = \frac{\operatorname{tg} \varphi_1}{\sin(90^\circ - \alpha)}$$

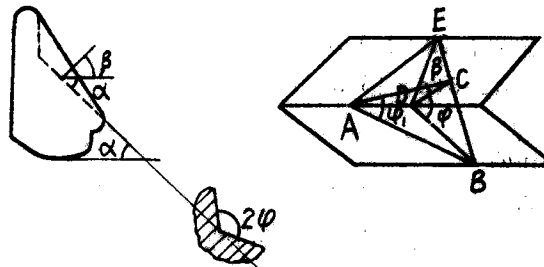


图 8

4. 设计计算

已知: $\Theta = 4000 \text{ 公斤}\cdot\text{米}$, $P < 200 \text{ 吨}$; $X = 65 \text{ 毫米}$, $X_0 = 20 \text{ 毫米}$, $\lambda K = 3000 \text{ 公斤}/\text{厘米}$

由 $\Theta = \frac{\psi \lambda K (X^2 + 2XX_0)}{2}$ 求得 $\psi = 3.92$

$$\psi = \frac{1 + \operatorname{tg} \rho_3 \cdot \operatorname{tg}(\gamma + \rho_1)}{1 - \operatorname{tg}(\alpha + \rho_2) \cdot \operatorname{tg}(\gamma + \rho_1)}$$

$$f_1 = \frac{f}{\sin \theta_1}, \quad \theta_1 = 60^\circ$$

摩擦系数的选取见表 1 (参考有关试验资料得)。

表 1

| 摩擦面的磨合程度 | 计算时的摩擦系数 | |
|----------|--------------------|---------------------|
| | f_1 按公式(4)求力时 | f_2 按公式(3)求容量时 |
| 低及中等磨合程度 | 0.27~0.28 | 0.26~0.27 |
| 磨合良好 | 0.288~0.292 | 0.274~0.281 |

选取 $f = 0.26$ ($\rho = 14^\circ 16'$)

$$\therefore f_1 = 0.30, \quad \rho_1 = 16^\circ 42', \quad \rho_2 = \rho_3 = \rho$$

$$\text{设 } \gamma = 1^\circ 30',$$

$$\text{得 } \alpha = 51^\circ, \text{ 绘图中选取 } \alpha = 52^\circ.$$

$$\operatorname{tg} \varphi = \frac{\operatorname{tg} \varphi_1}{\sin(90^\circ - \alpha)}$$

已知

$$\varphi_1 = 60^\circ \text{ 得 } \varphi = 65^\circ 33'$$

$$\therefore 2\varphi = 131^\circ 6'$$

3. 校核计算

由已知的几何参数求缓冲器的性能。

已知: $\alpha = 52^\circ$, $\gamma = 1^\circ 30'$, $\theta_1 = 60^\circ$, $K = 3000$ 公斤/厘米, $X_0 = 2.2$ 厘米,

$$\psi = \frac{1 + \tan \rho_3 \cdot \tan(\gamma + \rho_1)}{1 - \tan(\alpha + \rho_2) \cdot \tan(\gamma + \rho_1)} = 4.47$$

$$\psi_1 = \frac{1 + \tan(-\rho_3) \cdot \tan(\gamma - \rho_1)}{1 - \tan(\alpha - \rho_2) \cdot \tan(\gamma - \rho_2)} = 0.89$$

$$\Theta = \frac{\psi K (X^2 + 2XX_0)}{2} = 4570 \text{ 公斤} \cdot \text{米}$$

$$P_{max} = \psi_1 K (X + X_0)$$

由表 1 中选取 $f_p = 0.275 (\rho = 15^\circ 24')$

$$\therefore f_1 = \frac{f}{\sin \theta_1} \quad \text{得} \quad f_{1s} = 0.3175 (\rho_1 = 17^\circ 36')$$

代入得 $\psi_s = 6.55 \quad \therefore P_{max} = 171$ 吨

$$P_0 = \psi_s K X_0 = 43.1 \text{ 吨}$$

$$\eta = \frac{\psi - \psi_1}{\psi} = 0.801 = 80.1\%$$

四、对磨耗问题的考虑

1. 磨耗试验

磨耗直接影响到缓冲器的性能和使用寿命，因此，我们选取几种方案进行了磨耗试验。

为查明硬度对磨损的影响，将几种不同材质、不同硬度所组成的四对摩擦偶，在相同条件下，置于磨耗试验机上作磨耗试验。

试验中选取四个方案（见图 9），试验结果列于表 2。

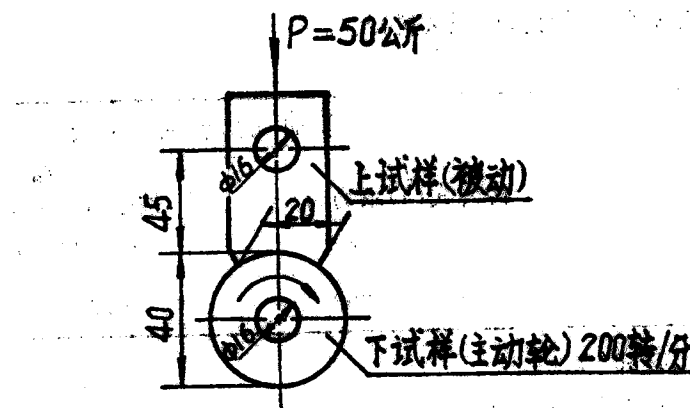


图 9 磨耗试验示意图

由试验中看出：

① 由编号 1 和 5 试件组成的方案 1 磨耗最严重（两者材质都为普通铸钢，硬度与现用 3 号缓冲器中导板、箱体硬度相同）；由编号 2 和 6 试件组成的方案 2 磨耗最轻，两者的硬度相差近 3 倍。

② 通过 12 万转试验后，方案 1 为方案 2 磨耗重量的 73.6~657 倍。

③ 为减少磨耗，应采用一硬一软的材质相结合，并且其中运动的试件最好选用较硬的材质，两者硬度值相差越大越耐磨。

表 2

| 试样编号 | 1 | 5 | 2 | 6 |
|-------------|---------------|---------|--------------|----------|
| | 上 | 下 | 上 | 下 |
| 试样材质 | ZG25 | ZG25 | ZG25 | 60S, 2M. |
| 硬度 | HB140 | HB140 | HB138 | HRC56 |
| 摩擦系数 | 0.1~0.5 | | 0.09~0.14 | |
| 试样重量(克) | 89.8291 | 64.0203 | 90.9070 | 81.1166 |
| 12万转后试样重(克) | 77.6534 | 50.0277 | 90.7415 | 81.0953 |
| 累计磨损量(克) | 12.1757 | 13.9926 | 0.1655 | 0.0213 |
| 比值(磨耗) | 1:2 = 73.6(倍) | | 5:6 = 657(倍) | |

续表 2

| 试样编号 | 3 | 7 | 4 | 8 |
|-------------|-----------|----------|-----------|----------|
| | 上 | 下 | 上 | 下 |
| 试样材质 | 60S, 2M. | ZG25 | 60S, 2M. | 60S, 2M. |
| 硬度 | HRC55 | HB140 | HRC52 | HRC58 |
| 摩擦系数 | 0.025~0.5 | | 0.06~0.55 | |
| 试样重量(克) | 88.9790 | 82.41665 | 89.0164 | 81.0451 |
| 12万转后试样重(克) | 88.7110 | 77.8529 | 88.9257 | 80.8716 |
| 累计磨损量(克) | 0.2680 | 4.56375 | 0.0907 | 0.1735 |
| 比值(磨耗) | | | | |

2. 摩擦系数试验

增加摩擦件的硬度及其恰当的配合可减少磨耗。它对摩擦系数有无影响呢？为此，进行了摩擦系数的测定。

试验原理见图10。

试验时，将事先已经静力校正过的压力弹簧按要求加压到一定数值，使试验块上承受一定的压力N，然后试验机由上面加压，直到测得试验块Ⅱ刚开始移动时的最大作用力P时为止。

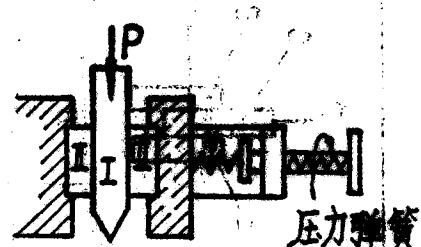


图10 测定摩擦系数的示意图
P—试验机上测得的最大压力即摩擦力；
N—压力弹簧的压力即正压力。

表 3

| 试验方案 | 试件号 | P (公斤) | | $\mu_1 = \frac{P/2}{N_1}$ | $\mu_2 = \frac{P/2}{N_2}$ | $\mu_3 = \frac{P/2}{N_3}$ | $\bar{\mu}$ 平均值 |
|------|-------|-----------------------------------|--------------|---------------------------|---------------------------|---------------------------|--------------------|
| | | $N_1 = 1000$ | $N_2 = 1500$ | | | | |
| I | HB140 | HB141 | HB146 | 416 | 697 | 618 | 0.1656 |
| | ZG25 | | | | | 0.208 | 0.1545 |
| | | | | | | | 0.176 |
| | | | | | | | |
| II | HB138 | HB143 | | 323 | 336 | 570 | 0.1453 |
| | ZG25 | | | | | | 0.1420 |
| | | | | | | | 0.1496 |
| | | | | | | | |
| III | HB138 | HB140 | HRC61 | 358 | 521 | 676 | 0.179 |
| | ZG25 | 60S _{1,2} M ₁ | | | | | 0.173 |
| | | | | | | | 0.169 |
| | | | | | | | 0.1737 |
| IV | HB138 | HB140 | HRC61 | 372.5 | 540 | 712.5 | 0.1863 |
| | ZG25 | 60S _{1,2} M ₁ | | | | | 0.18 |
| | | | | | | | 0.178 |
| | | | | | | | 0.181 |
| | | | | | | | |

这时摩擦系数由下式求得：

$$\mu = \frac{\frac{P}{2}}{N} = \frac{P}{2N}$$

试验方案及测试结果如表 3。

由试验中看出：

① 表面光洁度对摩擦系数有影响，光洁度高，则摩擦系数低。在方案 1、2 中光洁度为 $\nabla 8$ 时， $\mu = 0.176$ ；当光洁度为 $\nabla 6$ 时， $\mu = 0.1496$ 。

② 试件表面硬度大小对摩擦系数影响不大。比较方案 1 和方案 3 就可看出，在同样光洁度 $\nabla 8$ 情况下，即使硬度值不一样 ($HB146$ 、 $HRC61$)，摩擦系数仍差不多 ($\mu = 0.176$ 及 $\mu = 0.1737$)。

因此，在 MX—1 型缓冲器中，我们选取楔块表面渗碳的办法，通过淬火回火使其硬度达 $HRC50\sim60$ ，以期减少箱体、楔块和压块的磨耗。

五、缓冲器的性能试验

试制中，曾分别对 35 套该型缓冲器进行了静压试验，并对其中 20 套进行了落锤冲击试验，同时也对国外同类型的 RF—333 缓冲器及国内 5 套新造三号缓冲器作了同样的试验。全部试验参数列于表 4。表中并引进使用一阶段后的性能及理论计算的参数。

由表 4 及图 11 可看出：

① MX—1 型缓冲器的容量几乎为三号缓冲器的两倍。

② 落锤试验后 MX—1 型的容量有上升的趋势，提高约 10%，主要是因摩擦表面经落锤后，磨合情况良好，提高了摩擦系数；而三号的容量却下降，减少约 10%，是因瓦片簧经冲击后产生了永久变形，降低了性能。

③ MX—1 型缓冲器的理论计算与试验结果，两者比较接近，唯初压缩力计算值偏大，这与计算中假定了橡胶弹簧的刚度为线性有关，实际上橡胶的性能为非线性的，故出现偏差。上面的计算主要是供设计时选取参数用，缓冲器的实际性能应以试验值为准。

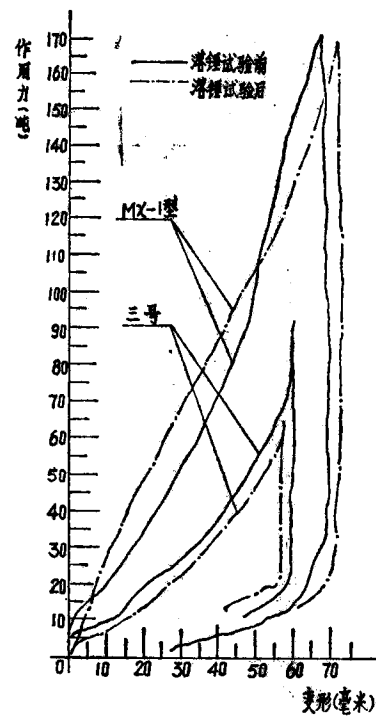


图 11 MX—1 型和三号缓冲器落锤试验前后的静力特性曲线比较图

表 4

| 缓冲器型式 试验序号 | 落锤试验前 | | | | 落锤试验后 | | | | 备注 | | | | | | | |
|----------------|--------------|-------------|---------|--------|--------------------------|------------|-------------------------------|--------|-------------------------------------|------------|-----|------|------|-------|-------------------|--------------------------------|
| | 性能参数 平均值 | 容量 Θ | 作用力 P | 变形 S | 吸收分解压 力 η (%) | 初压力 (吨) | 组装及 分解压 力 η (%) | 变形 S | 吸收组 装及分 解压 力 η (%) | 初压力 (吨) | 注 | | | | | |
| MX-1 试验值 | 1 | 4 套 | 3305 | 170 | 69 | 73.3 | 16~20 | 5~10 | 2.8米高 冲击70次 | 3559 | 150 | 69 | 84.6 | 15~17 | 10 | 1969年5月试制 4套全部试验 |
| | 2 | 10套 | 3409 | 150 | 66 | 83.5 | | | 同上 | 3969 | 150 | 72.9 | 90 | | | 1969年12月试验 10套全部试验 |
| | 3 | 15套 | 3813 | 170 | 62.7 | 86.4 | 16~20 | 5~10 | | | | | | | 15套全部试验 | 1970年5月试验 15套全部试验 |
| | 4 | 6套 | 3945 | 170 | 64.6 | 89.6 | 23~30 | 5~10 | 2.6米高 冲击60次 | 4346 | 170 | 67.8 | 90 | 23~30 | 5~10 | 1971年8月天津 工厂试制产品 |
| MX-1使用 一阶段后 | 1 套 | 3435 | 170 | 58.7 | 85.6 | 17 | 5 | | | | | | | | 80套中的一套使 用8个月后 | |
| | MX-1理论 计算 | 4570 | 171 | 65 | 80.1 | | 43.1 | | | | | | | | | |
| | 三号缓冲器 | 5套 | 1863 | 89.8 | 57.2 | 71.4 | | 10 | 1.8米高 冲击60次 | 1542 | 71 | 56 | 67 | | 瓦片簧 全部动 | 1969年4月天津 工厂新造5套 |
| | RF-333 | 1套 | 2490 | 230 | 29.6 | 86.5 | 47 | 5~10 | 2.5米21次 3米20次 4米20次 | | | | | | | 1966年美国新造 装于4000马力内 燃机车上 |

六、使 用 情 况

我所共试制装车80余套 MX—1型缓冲器，曾两次赴现场对其中的50余套进行了外观检查。结果表明，运用情况良好，一般变形在25毫米左右，最大变形不超过40毫米，未发现箱体口部裂纹情况。

1972年以后，该产品由天津工厂批量生产，到目前已生产近10万套。

经五、六年的运用，现场反映，这种缓冲器与二号、三号相比，有重量轻、结构简单、组件互换性强、缓冲性能好等优点。但目前检修中尚存在一些问题，其中箱体口部裂纹尤为突出，约占总数的2%。

1976年5～6月间，我们与天津工厂进行了一次调查，调查情况如下：

1. 据不完全统计，1975、1976两年箱体返厂及要求返厂退货的数量达481个。

2. 在调查中见到的全部裂纹情况见表6。从表6中可看出：

① 有相当部分的箱体从中间筋分型面处开裂，断口内有较大的缩孔，这是不正常的开裂，出现这样的裂纹与铸造工艺有直接关系。

② 裂纹中侧面裂纹的数量较多，几乎全部侧面裂纹都出现在有冒口的一侧，出现这样的裂纹是否与冒口位置有关？

③ 天津工厂对箱体口部裂纹处的化学成分、机械性能及金相组织进行过多次试验，详细检验结果汇总于表7。

对产生裂纹的初步看法：

① 根据所有静压、落锤和最近的装车冲击（冲击力达380吨）试验，以及事故车上都从未出现过箱体口部的裂纹。

② 根据缓冲器的使用情况，一般变形不超过40毫米，极少达到全压缩。

我们认为箱体口部裂纹是在不大的冲击力作用下产生的。

产生裂纹的原因：

(1) 主要原因由表7中可看出，试件的机械性能未达到国标所要求的强度，试件的金相组织，有魏氏组织存在，晶粒粗大故出现脆断现象。

1975年天津工厂关于橡胶缓冲器的质量报告中谈到：“缓冲器箱体经金相分析有魏氏组织，晶粒粗大，我们分析是由于烟火窑温度不均，达不到工艺要求造成的。”

该厂原烟火炉不严密，烧煤粉，升温快不保温，炉内温差达200°C。据有经验的师傅跟班看退火颜色讲，每炉有40%达不到要求。

天津工厂正积极采取措施，改变烟火窑现状，从根本上保证退火质量。

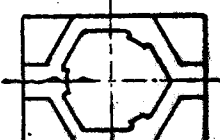
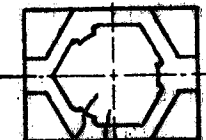
(2) 有些箱体口部本来就有微小裂纹，由于漏检，拿来组装，造成使用中出现裂纹。

(3) 有些组装零件的摩擦表面未清除毛刺，对凹凸不平的缺陷不处理，使箱体口部在使用中出现过大的负荷而造成裂断。

① 在调查中就曾见到几个缓冲器，压块、楔块卡死在箱体口部不能复原呈自锁状态。经分解检查，发现在楔块的表面有凸台，它将箱体摩擦表面局部压下较深的压痕，出现自锁。

② 调查中也见到，在楔块与压块的接触面上有凸台，造成它们在压缩时无相对运动，使箱体口部承受过大的载荷。

箱体口部裂

| 裂纹部位 | 中间筋部断裂 | | 侧面裂纹 | | | | | |
|------|---|------|--------------|--|------|--------------|----|------|
| | | | | | | | | |
| |  | | |  | | | | |
| | | | | | | | | |
| | 73.5.9.66 | 内有缩孔 | 下72.3 | 冒口 | | 下72.4 | 冒口 | 断口缩孔 |
| | 75.2.9.21 | " | 上72.4 | " | | 72 | " | 爪处裂 |
| | 74.3.7.21 | " | 下73.11.2 | " | 断口缩孔 | 72 | | 裂至下孔 |
| | 75.2.8.74 | " | 上72.3.8 | " | | | | |
| | | | 下72.5 | " | | | | |
| | 75.1.28 | " | 上74.11.16 | " | | | | |
| | 74.12.8.134 | " | | | | | | |
| | 73.11.30 | | 73.4.15 | 冒口 | | 72.3 | 冒口 | |
| | 74.2.10 | 内有缩孔 | 75.12 | " | 断口缩孔 | 72.8 | " | |
| | 73.11.22 | " | 74.10.6 | | | 74.11.14 | " | |
| | | | 72.3 | 冒口 | | 74.11.11.177 | " | |
| | | | 72.3 | " | | 73.9.24 | " | |
| | | | 72 | " | | 72.6.13 | " | |
| | | | 73.9.30.54 | " | | 72.7 | " | |
| | | | 75.1.24 | " | | 74.11.3 | " | 两侧裂 |
| | | | 73.12.11.126 | " | | 74.1.13 | " | 铸造缺陷 |
| | | | 74.1 | " | | 72.8.3 | " | |
| | | | 73.5.11 | " | | 73.11.21 | " | |
| | | | 75.2.21 | " | | 75.11.9 | " | 晶粒大 |
| | | | 75.1.5.145 | | | 73.9.25 | | |
| | | | 73.10.11 | 冒口 | | 73.11.27 | | 爪处裂 |
| | | | 73.11.17 | " | | 72.5 | 冒口 | |
| | | | 74.11.3 | " | | 73.2.28 | " | 爪处裂 |
| | | | 73.9.25 | " | | 73.12.4 | | |

注：1. 上下指缓冲器放置尾框中出现裂纹的上下位置，仅记录几个缓冲器。
 2. 表中汇总的系指在天津工厂柳州及湛江车辆段见到实物的汇总

纹 汇 总 表

表 6